

УДК 532.59

© 1991 г.

**Н. Л. НИКИТИН, А. Ю. ЯКИМОВ**

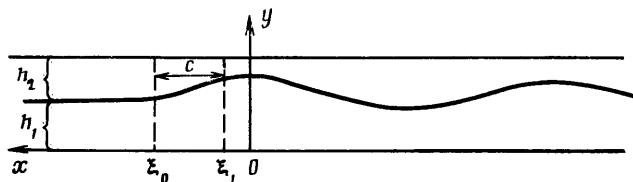
**ВНУТРЕННИЕ ВОЛНЫ БОЛЬШОЙ АМПЛИТУДЫ  
В ДВУХСЛОЙНОЙ ЖИДКОСТИ**

Экспериментально и теоретически изучаются плоские внутренние волны на границе раздела двухслойной жидкости, генерируемые равномерно движущейся областью аномального давления. Настоящее исследование продолжает работу [1], где экспериментальные результаты для данных волн сравнивались с линейной теорией и была получена оценка границ применимости линейной теории ( $Ri > 3,5$ ), а также работу [2], где с помощью метода узких полос в нелинейной постановке исследовались свободные внутренние волны.

Цель настоящей работы распространение метода узких полос [3] на вынужденные волновые движения и экспериментальная проверка полученных результатов. При построении теоретической модели использовались экспериментальные данные.

Как и в [2], рассмотрим течение в прямолинейном канале бесконечной длины. Пусть  $h_i$ ,  $v_i$  и  $\rho_i$  — соответственно глубина слоев в невозмущенном состоянии, скорость частиц жидкости и плотность верхнего ( $i=1$ ) и нижнего ( $i=2$ ) слоев, причем верхний слой движется относительно нижнего со скоростью  $\Delta v$ . Свободная граница верхнего, более легкого слоя предполагается горизонтальной, слои — несмешивающимися.

Выберем прямоугольную систему координат  $(x, y)$ , жестко связанную с областью аномального давления, движущейся с постоянной скоростью  $v_0$ .



Фиг. 1

Причем ось  $x$  принадлежит дну канала, а ось  $y$  направлена вертикально вверх (фиг. 1). В области аномального давления исходя из интеграла Бернулли и равенства давлений в обоих слоях на границе раздела получим

$$-\frac{1}{2} \rho_1 v_1^2 - g \rho_1 y_1 + \frac{1}{2} \rho_2 v_2^2 + g \rho_2 y_2 = -\frac{1}{2} v_0^2 (\rho_1 - \rho_2^*) + g h_1 (\rho_1 - \rho_2) + \overline{\Delta P},$$

$$\rho_2^* = \frac{(v_0 + \Delta v_0)^2}{v_0^2} \rho_2$$

где  $y_1$  и  $y_2$  — текущие значения глубин слоев,  $\overline{\Delta P}$  — значение аномального давления.

Воспользовавшись формулой М. А. Лаврентьева, для обоих слоев (см.

[2]) получим

$$z'' + 3\alpha z + \frac{9}{2} \gamma z^2 = \frac{3 \operatorname{Ri} (1 - \sigma m) \Delta P(\xi)}{m(1-m)(1-\sigma)(1-\sigma)(1-m)} \quad (1)$$

$$\Delta P(\xi) = \frac{\overline{\Delta P}}{(\rho_1 - \rho_2)(h_1 + h_2)g}, \quad z = \frac{h_1 - y_1}{h_1 + h_2}, \quad \xi = \frac{x}{h_1 + h_2}$$

$$\operatorname{Ri} = \frac{g}{\nu_0^2} \frac{\rho_2}{\rho_1} \frac{(\rho_1 - \rho_2) h_1 h_2}{\rho_1 h_1 + \rho_2 h_2}, \quad m = \frac{h_1}{h_1 + h_2}, \quad \sigma = \frac{\rho_1 - \rho_2}{\rho_1}, \quad \sigma^* = \frac{\rho_1 - \rho_2^*}{\rho_1}$$

$$\alpha = \frac{\operatorname{Ri}(1 - \sigma m) - (1 - \sigma)(1 - \sigma^* m)}{m(1-m)(1-\sigma)(1-\sigma(1-m))}, \quad \alpha = \frac{1 - 2m + m^2 \sigma^*}{m(1-m)^2(1-m)^2(1-\sigma^*(1-m))} + \frac{2}{3} \frac{\sigma^*}{1 - \sigma^*(1-m)} \alpha$$

где  $\Delta P(\xi)$  — безразмерное аномальное давление,  $z, \xi$  — безразмерные вертикальное смещение границы раздела и горизонтальная координата соответственно,  $\operatorname{Ri}$  — число Ричардсона. Решить это уравнение аналитически для произвольного  $\Delta P(\xi)$  не удается.

Основываясь на анализе экспериментальных данных, сконструируем решение для вынужденных волн, состоящее из частных решений (1) для областей перед и за областью аномального давления и частного решения (1) с правой частью в области аномального давления. Условия сшивки решений на границе областей — равенство функций и их первых производных.

В экспериментах использовался электрогидродинамический способ создания областей пониженного давления, подробно описанный в [1, 4]. При этом возмущение давления сосредоточено в основном под заряженным электродом. Анализ экспериментальных данных показывает, что в большинстве случаев перед областью давления граница раздела практически не возмущена. Будем считать, что в этой области  $z(\xi) = 0$ .

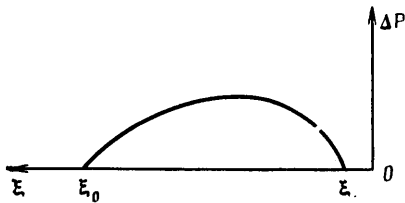
В области аномального давления в рассматриваемом диапазоне параметров ( $\operatorname{Ri} < 3,5$ ) отклонение границы раздела есть монотонная функция горизонтальной координаты  $\xi$ . Кроме того, при достаточно больших скоростях на распределение давления вдоль границы раздела кроме электрического поля, симметричного относительно центра области, оказывает влияние движущийся электрод. Это влияние приводит к созданию небольшого относительно электрической части разряда в кормовой части электрода, т. е. к некоторой асимметрии приложенного давления. В [1] было экспериментально показано, что концевые эффекты практически не влияют на амплитудно-частотную характеристику генерируемых волн. Будем считать, что координаты  $\xi_0$  и  $\xi_1$  совпадают с началом и концом электрода.

Выберем модельное решение в области давления в виде

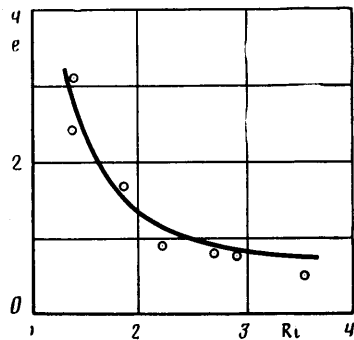
$$z(\xi) = a(1 - \cos(b(\xi_0 - \xi))) \sin b(\xi_0 - \xi) \quad (2)$$

где  $a$  и  $b$  — произвольные параметры. Эта функция автоматически обращается в ноль вместе с первой производной на переднем конце области. Условия постановки задачи требуют также равенства функций и их первых производных и обращения в ноль  $\Delta P(\xi)$  на заднем конце области. Это дает три уравнения

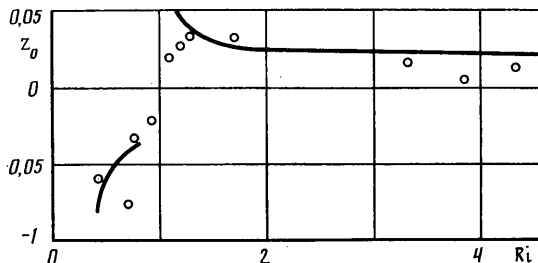
$$\begin{aligned} z_1 &= a(1 - \cos bc) \sin bc \\ 3\gamma \left( z_0^3 + \frac{\alpha}{\gamma} z_0^2 - z_1^3 - \frac{\alpha}{\gamma} z_1^2 \right) &= -ab(1 - \cos^2 bc + \cos bc) \\ -(3\alpha z_1 + 9/2 z_1^2) &= ab^2 \sin bc (4 \cos bc - 1) \end{aligned}$$



Фиг. 2



Фиг. 4



Фиг. 3

Здесь  $z_0$  — амплитуда волны,  $z_1$  — координата границы раздела на заднем конце области  $\xi_1$ ,  $c$  — длина области.

Выбранному решению (2) соответствует модельное распределение безразмерного давления вида

$$\Delta P(\xi) = a \sin(b(\xi_0 - \xi)) [b(4 \cos(b(\xi_0 - \xi)) - 1) + 3(1 - \cos(b(\xi_0 - \xi))) + \gamma(1 - \cos(b(\xi_0 - \xi)))^2 \sin(b(\xi_0 - \xi))]$$

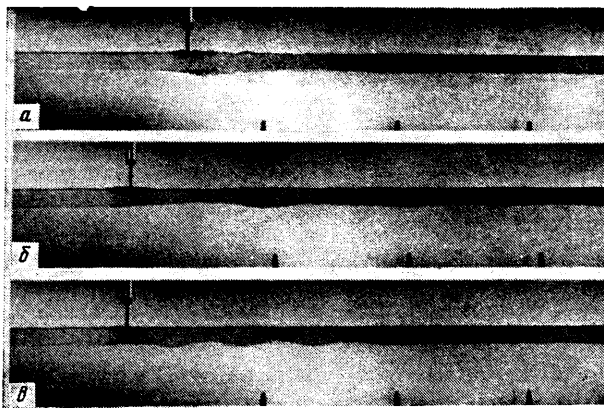
Для значений параметров, соответствовавших условиям экспериментов, эта функция удовлетворяет налагавшимся на нее требованиям и удовлетворительно описывает реальное распределение давления. Характерный вид  $\Delta P(\xi)$  приведен на фиг. 2.

Для замыкания системы уравнений необходимо задать дополнительное условие, определяющее интенсивность давления  $\Delta P(\xi)$ . В силу модельности предлагаемой постановки это условие может быть задано различными способами. Использовались два способа — задание отклонения границы раздела или величины приложенного давления в середине области. В первом случае отклонение границы раздела определялось по фотоснимкам, во втором — считалось, что величина давления в середине области совпадает с давлением, обусловливаемым средней величиной электрического поля, и равно  $P_1 = \gamma U^2 / (8\pi H^2)$ , где  $P_1$  — размерное давление,  $\gamma$  — диэлектрическая проницаемость верхней жидкости,  $U$ ,  $H$  — соответственно разность потенциалов и расстояние между электродом и нижней жидкостью. Оказалось, что оба способа дают практически один результат.

Таким образом, задача свелась к системе четырех трансцендентных уравнений, которая может быть решена численно. Результаты расчетов зависимости длин и амплитуд волн от числа Ричардсона приведены соответственно на фиг. 3 и 4 сплошными линиями.

Теоретические результаты сопоставлены с экспериментальными исследованиями в лабораторном лотке, заполненном двухслойной жидкостью

(вода — керосин). Лоток имел размеры  $4000 \times 200 \times 160$  мм. Область пониженного давления создавалась с помощью электрического поля. Во всех экспериментах глубина нижнего слоя жидкости была 100 мм, глубина верхнего 25 мм. Длина области пониженного давления (длина электрода) составляла 46 и 112 мм. Форма границы раздела фиксировалась на фотопленку, которая обрабатывалась на измерительном двухкоординатном приборе ДИП-3.



Фиг. 5

В экспериментах реализовывались различные волновые режимы. На фиг. 5 представлены волны, возбуждаемые областью пониженного давления, при значениях параметров  $H=25$  мм,  $U=12$  кВ. Очевидно, режим, представленный на фиг. 5, а, является уединенной волной типа «впадина» ( $Ri=0,7$ ), на фиг. 5, б представлены волны, имеющие различную кривизну вершины и впадины, а на фиг. 5, в волны имеют синусоидальную форму, т. е. они близки к линейным.

На фиг. 3 и 4 представлены результаты экспериментов в виде точек. Фигура 3 показывает хорошее совпадение теоретических и экспериментальных результатов по длине волны. Несколько худшее совпадение теории и эксперимента наблюдается по амплитуде волны (фиг. 4). Однако при малых значениях числа Ричардсона, в области отрицательных амплитуд, где расположены наиболее интересные уединенные волны типа «впадина», наблюдается достаточно хорошее совпадение теоретических и экспериментальных результатов.

При больших значениях числа Ричардсона хорошее согласование с экспериментом дает линейная теория [1].

Определенный интерес вызывает вопрос: что происходит с волновой картиной при смене знака амплитуды волны ( $Ri=1$ )? Наблюдения позволяют сделать предположение, что при этих режимах возникают неустойчивые волновые движения, описание которых лежит за пределами применимости данной теории. Исследование этих режимов должно стать темой отдельной работы.

#### СПИСОК ЛИТЕРАТУРЫ

1. Нестеров С. В., Никитин Н. Л. Внутренние волны, возбуждаемые в двухслойной жидкости перемещающейся областью давления // Изв. АН СССР. МЖГ. 1984. № 5. С. 109–116.
2. Якимов А. Ю. Метод узких полос для нелинейных задач стратифицированной жидкости // Изв. АН СССР. МЖГ. 1986. № 2. С. 174–178.
3. Лавренгев М. А., Шабат Б. В. Методы теории функций комплексного переменного. М.: Наука, 1973. С. 398–403.
4. Калиниченко В. А., Нестеров С. В., Никитин Н. Л., Секерж-Зенькович С. Я. Об одном способе моделирования процесса возбуждения волн в жидкости областями пониженного давления // Изв. АН СССР. Физика атмосферы и океана. 1982. № 4. С. 432–434.